

مقاله پژوهشی

بررسی تأثیر کارواکرویل بر ویژگی‌های ویژگی فیزیکی، مکانیکی و میکروبی هیدروژل زیستی بر پایه آرد فیلتر حاصل از فرایند آسیابانی گندم

مریم پیروموسوی^۱ - محبوبه کشیری^{۲*} - یحیی مقصودلو^۳ - مرتضی خمیری^۴ - مهران اعلمی^۵

تاریخ دریافت: ۱۳۹۸/۱۱/۰۴

تاریخ پذیرش: ۱۳۹۹/۰۸/۲۱

چکیده

هیدروژل‌ها شبکه سه‌بعدی زنجیره پلیمری با توانایی جذب زیاد آب هستند که جهت کاهش استفاده از منابع فسیلی مورد توجه قرار گرفته است. آرد فیلتر گندم محصولی اجتناب‌ناپذیر از طبقه بندی آرد تحت سیستم پنوماتیک در صنعت مدرن آسیابانی گندم می‌باشد. از عیوب فیلم‌های هیدروژلی در صنایع بسته‌بندی می‌توان به شکنندگی، نفوذپذیری بالا نسبت به آب و مقاومت کم در برابر آب اشاره کرد. از این حیث هدف این پژوهش بررسی اثر غلظت کارواکرویل (۵ و ۱۰ درصد نسبت به وزن پلیمر) بر ویژگی‌های فیزیکی و مکانیکی، ممانعت‌کنندگی، زاویه تماس سطحی و ضد میکروبی فیلم هیدروژلی بر پایه آرد فیلتر بود. نتایج حاصل از این پژوهش نشان داد با افزایش غلظت کارواکرویل در محلول فیلم‌سازی، ضخامت و مقاومت به کشش افزایش و رطوبت، حلالیت در آب و کشش‌پذیری فیلم‌های هیدروژلی کاهش یافت. منافذ ریز متعددی در سطح فیلم‌های حاوی کارواکرویل با استفاده از تصاویر میکروسکوپ الکترونی روبشی مورد تأیید قرار گرفت. بیشترین نفوذپذیری نسبت به بخار آب $10^{-10} \times 1/32$ گرم مترثانیه پاسکال) و کمترین حلالیت در آب ($37/01 \pm 0/63$ درصد) در فیلم هیدروژلی حاوی ۱۰ درصد کارواکرویل مشاهده شد. ارزیابی فعالیت ضد میکروبی بخارهای کارواکرویل فیلم هیدروژلی در محیط جامد نشان داد که اثربخشی بخار این ترکیب علیه *آسپریلوس نایجر* (بازدارندگی کامل رشد) در مقایسه با *آشترشیا کلاهی* و *لیستریامونوسایتوزنز* بیشتر بود. اندیس کاهش لگاریتمی کارواکرویل در غلظت ۵ درصد در فیلم هیدروژلی بر پایه آرد فیلتر گندم علیه *آشترشیا کلاهی* و *لیستریامونوسایتوزنز* به ترتیب ۱/۱۶ و ۱/۳۴ لگاریتمی بود. بیشترین کاهش اندیس لگاریتمی فیلم فعال هیدروژلی در غلظت ۱۰ درصد کارواکرویل علیه *لیستریامونوسایتوزنز* ۲/۷۱ مشاهده شد.

واژه‌های کلیدی: آرد فیلتر گندم، بسته‌بندی ضد میکروبی، هیدروژل، کارواکرویل.

مقدمه

هیدروژل‌ها پلی‌مرهایی با توانایی جذب مقدار زیادی آب از طریق پیوند فیزیکی یا شیمیایی و ایجاد شبکه سه بعدی طبیعی یا مصنوعی می‌باشند (Ozel et al., 2017). در تکنولوژی مواد غذایی هیدروژل‌ها به‌عنوان حامل ترکیبات زیست‌فعال مورد توجه فراوان قرار گرفته است (Dordevic et al., 2015). در بیست سال اخیر هیدروژل‌های مختلف نظیر پروتئین (Betz and Kulozik, 2011)، پلی‌ساکارید (Mun et al., 2015)، آلژینات (Wichchukit et al., 2013)، کیتوزان (Lu et al., 2015) و پکتین (Luqin et al., 2009) بررسی شده است. از عوامل اصلی محدودیت کاربرد زیست‌پلی‌مرها در صنایع بسته‌بندی می‌توان به شکنندگی، نفوذپذیری زیاد نسبت به گازها و ماهیت آب‌دوستی اشاره کرد. با توجه به مشکلات اشاره شده، ترکیب هیدروژل‌ها با ماهیت متفاوت نظیر نشاسته-پروتئین (Coughlan et

مهاجرت ترکیبات شیمیایی، آلودگی‌های زیست محیطی و مشکلات بازیافت ناشی از کاربرد پلی‌مرهای فسیلی جهت بسته‌بندی از جمله معایبی است که معطوف شدن به پلی‌مرها زیست‌تخریب‌پذیر و سازگار با محیط زیست و نیز پژوهش‌های جدید برای یافتن جایگزین‌های مناسب را به همراه داشته است. در همین راستا بر اساس گزارش Briassoulis و Giannoulis (۲۰۱۸) نسبت پلاستیک به ماهی (نسبت یک به سه) در اقیانوس‌ها تا سال ۲۰۲۵ افزایش چشمگیری خواهد یافت. لذا جهت افزایش پایداری جهانی، تبدیل فرآورده جانبی به مواد با ارزش افزوده می‌تواند مفید واقع گردد (Tsang et al., 2019)

* نویسنده مسئول: (Email: Kashiri.m@gmail.com)

۱، ۲، ۳ و ۵- به ترتیب دانشجوی کارشناسی ارشد، استادیار، استاد و دانشیار، گروه فناوری مواد غذایی، دانشگاه علوم کشاورزی و منابع طبیعی گرگان.
۴- استاد، گروه میکروبیولوژی مواد غذایی، دانشگاه علوم کشاورزی و منابع طبیعی گرگان.

واکنش‌پذیر و به راحتی می‌توانند با مکان‌های فعال آنزیم‌ها پیوند هیدروژنی برقرار کنند (Farag et al., 1989). در همین راستا فعالیت ضد میکروبی فیلم‌های زیستی حاوی کارواکرول مورد بررسی برخی از پژوهشگران قرار گرفته است (Rojas-Graü et al., 2007, Kavoosi et al., 2014, Ramos et al., 2013). Rojas-Graü و همکاران (۲۰۰۷) بررسی فعالیت ضد میکروبی فیلم زیستی بر پایه پوره سیب و آژینات در حضور اسانس پونه کوهی، کارواکرول، اسانس دارچین، سینامالدهید، اسانس لیمو و سیترال حاکی از برتری قدرت فعالیت ضد میکروبی کارواکرول علیه باکتری *اشرشیا کلاسی* نسبت به اسانس پونه کوهی، سیترال، اسانس لیمو، سینامالدهید و دارچین بوده است. Ramos و همکاران (۲۰۱۴) قطر هاله بازدارندگی فیلم پلی پروپیلن حاوی تیمول در مقایسه کارواکرول بیشتر گزارش کردند.

حضور ترکیبات فعال در بستر فیلم‌های زیستی علاوه بر بروز فعالیت ضد میکروبی می‌تواند بر ویژگی فیزیکی و مکانیکی اثرات مختلفی داشته باشد. در همین راستا Pires و همکاران (۲۰۱۱)، اثر افزودن اسانس آویشن در فیلم پروتئین ماهی Hake بر کاهش ضخامت فیلم موثر گزارش کردند. این در حالی است که برخی از پژوهشگران افزایش ضخامت فیلم‌ها ناشی از افزودن اسانس آویشن در فیلم کیتوزان (Ojagh et al., 2010) و موسیلاژ دانه به (Jouki et al., 2014a) و نیز اسانس لیمو در فیلم بر پایه ژلاتین (Ahmad et al., 2012) گزارش کردند. بررسی نتایج پژوهشگران حاکی از اختلاف اثربخشی اسانس‌ها در پلی‌مرهای مختلف است که در همین راستا می‌توان به کاهش حلالیت فیلم‌ها با افزودن اسانس آویشن در فیلم دانه به (Jouki et al., 2014b) و نیز کارواکرول و عصاره دانه انگور در فیلم کیتوزان (Rubilar et al., 2013) اشاره کرد. در حالی که افزایش حلالیت فیلم زئین حاوی اسانس آویشن شیرازی (Kashiri et al., 2017)؛ فیلم ژلاتین حاوی کارواکرول (Kavoosi et al., 2013)؛ فیلم بر پایه موسیلاژ دانه به حاوی اسانس پونه کوهی (Jouki et al., 2014a) و نیز فیلم کیتوزان حاوی آویشن (Hosseini et al., 2009) گزارش شده است.

ماهیت افزودنی‌ها در فرمولاسیون فیلم‌های زیستی می‌تواند نقش موثری بر نفوذپذیری به بخار آب فیلم‌های تولیدی داشته باشد (Atarés and Chiralt, 2016). در همین راستا کاهش نفوذپذیری نسبت به بخار آب در حضور اسانس آویشن در فیلم‌های زیستی مختلف نظیر پروتئین ماهی هیک (Pires et al., 2011)، نشاسته (Ghasemlou et al., 2013) گزارش شده است. از دیگر ترکیبات فعال موثر بر کاهش نفوذپذیری به بخار آب می‌توان به اسانس برگ چای در فیلم بر پایه هیدروکسی پروپیل متیل سلولز (Sánchez-González et al., 2009)، کارواکرول و عصاره دانه انگور در فیلم بر پایه کیتوزان

(Bravin et al., 2004; Jagannath et al., 2003) و نشاسته-لیپید (al., 2004) جهت بهبود ویژگی عملکردی و ممانعت‌کنندگی در برابر بخار آب گزارش شده است. به عبارتی در تولید فیلم‌های زیستی استفاده از روش ترکیبی از پلی‌مر با تأکید بر اصلاح رفتار عملکردی پلی‌مرهای بسته‌بندی (نفوذپذیری نسبت به گاز، آب، ویژگی‌های مکانیکی و مهاجرت) رویکردی جدید محسوب می‌شود. در همین راستا بر اساس گزارش برخی از پژوهشگران استفاده از مخلوط پلی‌مر نشاسته، پروتئین و لیپید نظیر آرد حاصل از محصولات کشاورزی برنج (Dias et al., 2010)، تربیتی‌کاله (Dias et al., 2010, Borneo et al., 2016, Romero et al., 2016)، آچیرا (Andrade-Mahecha et al., 2012)، موز (Pelissari et al., 2013, Gutiérrez et al., 2016)، آمارنت و چاودار (Drakos et al., 2018)، بادمجان (Nouraddini et al., 2018) و کدو تبیل (Gutiérrez, 2018) به دلیل سازگاری بهتر در یک سیستم ترمودینامیکی در مقایسه با زیست پلی‌مر خالص پیشنهاد شده است.

آرد فیلتر گندم^۱ (WFF) محصولی اجتناب‌ناپذیر از طبقه بندی آرد تحت سیستم پنوماتیک در صنعت مدرن آسیابانی گندم می‌باشد که حدود ۱/۵-۰/۵ درصد از گندم تحت فرایند را در بر می‌گیرد (Wang et al., 2013). بر اساس آخرین آمار فائو تولید گندم ایران در سال ۲۰۱۸ نزدیک به ۱۳/۴ میلیون تن گزارش شده است که با توجه به میزان آرد فیلتر گندم تولیدی طی فرایند آسیابانی استفاده آن در صنایع غذایی رویکرد جدید و جذاب تلقی می‌گردد (FAO, 2018). آرد فیلتر گندم، ترکیب است تقریباً سفید رنگ متشکل از مواد غیرآندوسپرم (لایه آلرون، ذرات ریز سیبوس و جوانه است، Delcour and Hosene, 2010) با درصد نسبتاً بالایی از پروتئین‌ها (آلبومین و گلوبولین) (Waggle et al., 1967) که برگشت آن به فرایند تولید آرد می‌تواند استحکام خمیر، درصد خاکستر و رنگ سفید آرد را تحت تأثیر قرار دهد (Hemdane et al., 2015). بدین سبب اغلب در تولید الکل (Neves et al., 2006)، مواد چسبنده و خوراک دام (Pomeranz, 1988) مورد استفاده قرار می‌گیرد. همان طوری که قبلاً اشاره شد، بسیاری از پژوهشگران درصدد یافتن منابع ارزان قیمت مبتنی بر فراورده‌های جانبی یا ضایعات صنایع تبدیلی کشاورزی جهت تولید فیلم‌های زیستی و به‌کارگیری آن‌ها در صنایع بسته بندی باشند.

کارواکرول (۵-ایزوپروپیل -۲-متیل فنول) ترکیبی با ساختار مونوترپنی که در اسانس‌های روغنی مشتق شده از گیاهان معطر نظیر پونه و آویشن یافت می‌شود. بر اساس گزارش پژوهشگران فعالیت ضد میکروبی کارواکرول به حضور حلقه آروماتیک و گروه‌های هیدروکسیل در ساختار فنولی نسبت داده می‌شود (Ben Arfa et al., 2006). گروه‌های هیدروکسیل در ساختار این ترکیبات بسیار

ریخته و در آن با دمای ۴۵ درجه سانتی‌گراد به مدت ۲۴ ساعت خشک شد.

ارزیابی ویژگی‌های هیدروژل‌های تولیدی ارزیابی ضخامت هیدروژل‌های تولیدی

ضخامت فیلم‌های تولید شده با استفاده از میکرومتر دیجیتالی (Mitutoyo, Japan) با حساسیت ۰/۰۰۱ میلی‌متر در ۱۰ نقطه برای هر فیلم اندازه‌گیری شد و میانگین آن‌ها به عنوان ضخامت فیلم گزارش شد. (Mossavi et al., 2019).

ارزیابی رطوبت هیدروژل‌های تولیدی

قطعات فیلم‌های هیدروژلی به ابعاد ۲×۳ سانتی‌متر مربع بریده و درون پلیت‌هایی که از قبل به وزن ثابت رسیده، توزین گردید و در آن با دمای ۱۰۵ درجه سانتی‌گراد تا رسیدن به وزن ثابت حرارت داده شدند. میزان کاهش وزن نمونه نسبت به وزن نمونه اولیه به عنوان مقدار رطوبت فیلم گزارش گردید (Abdollahi et al., 2013).

ارزیابی نفوذپذیری نسبت به بخار آب هیدروژل‌های تولیدی

نفوذپذیری نسبت به بخار آب بر اساس تغییرات وزنی در دمای ۲۵ درجه سانتی‌گراد بر اساس روش مصوب ASTM^۱ به شماره ۹۵-۹۶ E انجام شد.

ارزیابی حلالیت هیدروژل‌های تولیدی

قطعات فیلم‌های هیدروژلی تولیدی به ابعاد ۲×۳ سانتی‌متر مربع بریده و داخل آن با دمای ۱۰۵ درجه سانتی‌گراد به مدت ۲۴ ساعت قرار داده شد. بعد از آن گذاری فیلم‌ها توزین (W₁) و درون ۵۰ میلی‌لیتر آب مقطر ۲۵ درجه سانتی‌گراد گذاشته شدند. پس از سپری شدن زمان لازم محلول حاصل از کاغذ صافی وزن شده عبور و در ادامه کاغذ صافی به همراه نمونه رسیدن به وزن ثابت در دمای ۱۱۰ درجه سانتی‌گراد قرار داده شد (W₂) و در نهایت حلالیت هیدروژل‌ها از رابطه ۱ محاسبه شد (Mossavi et al., 2019).

$$WS (\%) = \frac{W_1 - W_2}{W_1} \times 100 \quad (1)$$

ارزیابی زاویه تماس هیدروژل‌های تولیدی

جهت اندازه‌گیری زاویه تماس فیلم‌های زیستی از گونیومتر PG- (Thwing-Albert Instrument Co., USA) استفاده شد. میکرولیتر آب دیونایزر بر سطح فیلم به ابعاد ۵×۵ سانتی‌متر ریخته و

(Rubilar et al., 2013)، اسانس لیمو در فیلم ژلاتین (Ahmad et al., 2012)، اسانس پونه کوهی در فیلم نشاسته-کیتوزان (Pelissari et al., 2009) اشاره کرد. از طرفی بسته به ماهیت ترکیبات، افزایش نفوذپذیری به بخار آب در برخی از فیلم‌های زیستی گزارش شده است که از این بین می‌توان به اثر افزودن آویشن شیرازی در فیلم ژئین (Kashiri et al., 2017)، کارواکرول در فیلم بر پایه نشاسته (همایونی و همکاران، ۲۰۱۶)، اسانس آویشن، میخک و دارچین در فیلم بر پایه کیتوزان (Hosseini et al., 2009)، کارواکرول در فیلم بر پایه ژلاتین (Kavoosi et al., 2013) و اسانس سیر به فیلم بر پایه آلژینات (Pranoto et al., 2005) اشاره کرد.

رویکردهای نوین مبتنی بر کاربرد محصولات جانبی حاصل از کارخانجات مواد غذایی در تولید محصولات دوست‌دار طبیعت مورد توجه پژوهشگران و صنعت‌گران قرار گرفته است. با توجه به این که تاکنون در حوزه بسته‌بندی فعال از محصولات جانبی صنعت تولید آرد پژوهشی صورت نگرفته است، لذا هدف از این پژوهش بررسی تأثیر غلظت کارواکرول در غلظت ۵ و ۱۰ بر ویژگی‌های فیزیکی (نفوذپذیری نسبت به بخار آب و ...)، مکانیکی فیلم‌های هیدروژل بر پایه آرد فیلتر و نیز ارزیابی فعالیت ضدباکتری (آسپریژیلوس نایجر) و لیستریامونوسایتوزنز) و ضد قارچ (آسپریژیلوس نایجر) بود.

مواد و روش‌ها

آرد فیلتر گندم با ۱۱/۲۵ درصد رطوبت، ۱۴/۰۳ درصد پروتئین و ۶۲/۷ درصد نشاسته (آرد زاهدی گرگان)، گلیسرول (مرک، آلمان)، کارواکرول (سیگما، آمریکا) و هیدروکسید سدیم (تیتراکم، ایران)، نوترینت آگار و سیب‌زمینی دکستروز آگار (مرک، آلمان) در این پژوهش مورد استفاده قرار گرفت.

تولید فیلم هیدروژلی

در این پژوهش با استفاده از تکنیک قالب‌گیری مطابق روش موسوی و همکاران (۲۰۱۹) فیلم هیدروژلی تولید شد. در این روش محلول آبی حاوی ۶ درصد (وزنی-وزنی) آرد فیلتر گندم آماده و به منظور انحلال پروتئین‌ها pH محلول حدود ۱۰/۷ تنظیم شد. محلول حاصل از این مرحله به مدت ۳۰ دقیقه به منظور ژلاتینه شدن نشاسته در دمای ۸۵ درجه سانتی‌گراد در بن‌ماری شیکردار قرار گرفت. در ادامه فرآیند پس از کاهش دمای بن‌ماری به دمای ۴۰ درجه سانتی‌گراد گلیسرول در غلظت مختلف ۳۵ درصد نسبت به وزن پلیمر به محلول اضافه و به مدت ۱۵ دقیقه روی بن‌ماری شیکردار قرار داده شد. پس از همگن شدن نرم‌کننده کارواکرول در غلظت ۵ و ۱۰ درصد به محلول فیلم، ۲۰ میلی‌لیتر از محلول نهایی داخل پلیت‌هایی به قطر ۱۰×۱۰ سانتی‌متر

نانومتر بیانگر ابتدای فاز سکون می‌باشد). در مرحله بعد برای رسیدن به فاز لگاریتمی رشد، ۱۰۰ میکرولیتر از سوسپانسیون میکروبی آماده شده، در ۱۰ میلی‌لیتر نوترینت برات تلقیح و در دمای ۳۷ درجه سانتی‌گراد تا حصول دانسیته نوری ۰/۲ در طول موج ۶۰۰ نانومتر نگاه‌داری شد (Kashiri et al., 2019).

جهت آماده سازی محلول قارچی، اسپرژیلوس نایچر (اسپرژیلوس ATCC v160 تهیه شده از کلسیون میکروبی پژوهش والنسیا) روی محیط سیب‌زمینی دکستروز آگار به مدت ۷-۱۰ روز در دمای ۲۵ درجه سانتی‌گراد) گرمخانه‌گذاری شدند. مقدار ۱۰ میلی‌لیتر محلول ۰/۰۵ درصد توپین ۸۰ اضافه و با میله شیشه‌ای خمیده استریل سطح کشت برای برداشت اسپور به آرامی خراش داده شد. به منظور حذف قطعات میسلوم، سوسپانسیون با استفاده از پشم شیشه فیلتر شد. بعد از شیک کردن آن، با استفاده از دستگاه اسپکتروفتومتر در طول موج ۵۳۰ نانومتر میزان عبور نور سوسپانسیون مورد سنجش قرار گرفت (میزان عبور نور ۹۰ درصد برای به‌دست آوردن ۱۰^۶ کونیدیای قارچی در هر میلی‌لیتر سوسپانسیونی با غلظت تقریباً مورد نیاز است (Heras-Mozos et al., 2019)

ارزیابی خاصیت ضدباکتریایی فیلم هیدروژلی حاوی کارواکرول در محیط جامد

۱۰۰ میکرولیتر از سوسپانسیون میکروبی با استفاده از سوآپ استریل، روی محیط کشت تریپتون سوی آگار (باکتری) و سیب زمینی دکستروز آگار (قارچ) پخش گردید. فیلم‌های هیدروژلی به قطر ۸ سانتی‌متر در سطح فوقانی پلیت‌ها (بدون تماس مستقیم با میکروارگانسیم) چسبانده شدند. در ادامه جهت کاهش خروج ترکیبات فرار موجود در اسانس، هر یک از پلیت‌ها با پارافیلیم محصور و در گرمخانه‌گذاری شدند (۳۷ درجه سانتی‌گراد به مدت ۲۴ ساعت (ارزیابی ویژگی ضدباکتریایی) و ۲۵ درجه سانتی‌گراد ۵ روز). نتایج فعالیت ضد میکروبی در فاز بخار نیز بر اساس شدت تأثیرگذاری با اصطلاحاتی نظیر بازدارندگی کامل (+++) (متوقف کامل رشد)، بازدارندگی نسبی (++) (اندکی رشد میکروبی)، کاهش قابل مشاهده در دانسیته میکروبی (+) (تقلیل اندک در مقایسه با نمونه شاهد رشد میکروبی) و در نهایت فاقد بازدارندگی (-) (رشد کامل میکروارگانسیم) گزارش گردید (Kashiri et al., 2017).

ارزیابی خاصیت ضدباکتریایی فیلم هیدروژلی حاوی کارواکرول در محیط مایع

۰/۲۵ گرم از فیلم‌های پودر نرم گندم حاوی ۵ و ۱۰ درصد کارواکرول در ۱۰ میلی‌لیتر محلول نوترینت برات در شرایط کاملاً استریل قرار داده شد و ۱۰۰ میکرولیتر از سوسپانسیون باکتری‌های اشرشیاکلائی و لیستریامونوسایتوزنز در مرحله رشد لگاریتمی به آن

تانژانت زاویه قطره آب با سطح فیلم در دمای ۲۵ درجه سانتی‌گراد طی مدت یک دقیقه تعیین گردید (Ojagh et al., 2010).

ارزیابی ویژگی‌های مکانیکی هیدروژل‌های تولیدی

ویژگی‌های مکانیکی با استفاده از بافت‌سنج (AT-XT-Plus، Stable Micro Systems، Surrey UK) و نرم‌افزار مربوطه (Texture Expert 1.05) با نیرویی معادل ۵۰ نیوتن اندازه‌گیری شد. نوارهای فیلم به ابعاد عرض ۲۵ میلی‌متر و طول ۱۰۰ میلی‌متر بر اساس روش (ASTM D-۸۸۲) برش داده شدند. فاصله بین دو فک ۵ سانتی‌متر و سرعت بارگذاری ۵۰ میلی‌متر بر دقیقه تنظیم گردید. ویژگی‌های مکانیکی فیلم‌ها شامل مقاومت کششی (TS) با تقسیم حداکثر نیرو (F_{max}) به سطح اولیه (A) بر حسب مگاپاسکال و افزایش طول تا نقطه شکست (% EAB) با نسبت افزایش طول فیلم (ΔL) در نقطه پاره شدن به طول اولیه (L_0) بر حسب درصد مطابق با رابطه ۲ و ۳ محاسبه گردیدند (ASTM, 2009).

$$TS = \frac{F_{max}}{A} \quad (2)$$

$$EAB = \frac{\Delta L}{L} \times 100 \quad (3)$$

ارزیابی رنگ‌سنجی هیدروژل‌های تولیدی

ارزیابی رنگ فیلم‌های هیدروژلی با استفاده از دستگاه رنگ‌سنج Lovibond (CAM-system England 500) تعیین گردید صفحه استاندارد رنگ سفید به‌عنوان پس‌زمینه با مشخصات $L^*=97/1$ ، $a^*=1/88$ ، $b^*=1/13$ برای اندازه‌گیری رنگ مورد استفاده قرار گرفت. اندیس L^* توصیف‌کننده روشنی (صفر=سیاه و ۱۰۰=سفید) در نظر گرفته شد. در تعریف رنگ نمونه‌ها اندیس a^* بیانگر قرمزی (مثبت) و سبزی (منفی) و اندیس b^* نشان‌دهنده زردی (مثبت) و آبی (منفی) بود. اختلاف رنگی کل (ΔE) و اندیس سفیدی (WI) مطابق رابطه‌های ۴ و ۵ محاسبه گردید (Kashiri et al., 2017).

$$\Delta E = [(\Delta L)^2 + (\Delta a)^2 + (\Delta b)^2]^{1/2} \quad (4)$$

$$WI = 100 - [(100 - L)^2 + a^2 + b^2]^{1/2} \quad (5)$$

ارزیابی ویژگی‌های ضد میکروبی هیدروژل‌های تولیدی آماده‌سازی سوبه‌های

جهت انجام آزمون‌های میکروبی، باکتری‌ها روی محیط کشت نوترینت آگار در ۳۷ درجه سانتی‌گراد به مدت ۱۸ ساعت گرمخانه‌گذاری شدند. در مرحله بعد به منظور فعال‌سازی باکتریایی یک لوپ باکتری به ۱۰ میلی‌لیتر نوترینت برات تلقیح و به مدت ۲۴ ساعت در ۳۷ درجه سانتی‌گراد نگاه‌داری گردید (دانسیته نوری ۰/۱ در طول موج ۶۰۰

افزافه گردید. در ادامه نمونه‌های تلقیح شده با سلول‌های میکروبی در دمای ۳۷ درجه سانتی‌گراد به مدت ۲۴ ساعت نگه‌داری شدند. با توجه به کدورت ایجاد شده در بطری‌های حاوی فیلم رقت‌سازی با محلول سرم فیزیولوژی انجام و در محیط کشت نوترینت آگار جهت شمارش تعداد میکروب‌ها کشت داده شدند و پس از ۲۴ ساعت نگه‌داری در انکوباتور با دمای ۳۷ درجه سانتی‌گراد تعداد کلنی‌ها شمارش گردیدند (Kashiri et al., 2019)

بررسی ریز ساختارهای فیلم‌های تولیدی با استفاده از میکروسکوپ الکترونی روبشی (SEM) نمونه‌های فیلم پس از خشک کردن در دسیکاتور حاوی سیلیکاژل مطابق روش موسوی و همکاران (۲۰۱۹) انجام شد.

تجزیه و تحلیل آماری داده‌ها

در این پژوهش آزمایشات در قالب طرح کاملاً تصادفی با سه تکرار انجام شد. اثر تیمارهای مورد بررسی با استفاده از تجزیه و تحلیل واریانس (ANOVA) ارزیابی گردید و مقایسه میانگین داده‌ها با استفاده از آزمون دانکن در سطح آماری ۵ درصد و با استفاده از نرم‌افزار SAS نسخه 8.7 و رسم نمودار با اکسل انجام گرفت.

نتایج و بحث
تأثیر غلظت کارواکرول بر ضخامت فیلم‌های هیدروژلی همان طوری که در جدول ۱ مشاهده می‌شود با افزودن کارواکرول، ضخامت فیلم‌های هیدروژلی بر پایه آرد فیلتر به‌طور افزایش معنی‌داری در سطح آماری ۵ درصد نشان داد که از این حیث با نتایج برخی از پژوهشگران مبنی بر افزایش ضخامت فیلم‌های بر پایه سویا

تأثیر غلظت کارواکرول بر رطوبت فیلم‌های هیدروژلی

تأثیر افزودن کارواکرول بر رطوبت فیلم‌های تولیدی در جدول ۱ نشان داده شده است. همان طوری که مشاهده می‌شود با افزایش غلظت کارواکرول از ۵ درصد به ۱۰ درصد رطوبت فیلم‌ها از $13/18 \pm 1/24$ درصد به $9/85 \pm 0/51$ درصد کاهش یافت. اسانس‌ها ترکیباتی آب‌گریز هستند که در قابلیت جذب آب فیلم‌ها تأثیرگذارند که با نتایج سالارباشی و همکاران (۲۰۱۳) مبنی بر کاهش رطوبت با افزودن اسانس آویشن شیرازی و پونه کوهی به فیلم بر پایه پلی‌ساکاریدهای محلول سویا مشابهت داشت. جوکی و همکاران (۲۰۱۴) افزودن اسانس پونه کوهی به فیلم بر پایه دانه به و افزایش رطوبت فیلم‌ها را به تخریب شبکه پلی‌مر و تشکیل پیوند هیدروژنی بیشتر بین پلی‌مر و آب نسبت دادند. این در حالی است که نتایج پژوهش حاضر با نتایج اجاق و همکاران (۲۰۱۰) مبنی بر کاهش رطوبت فیلم‌های بر پایه کیتوزان با افزودن اسانس دارچین مغایرت داشت.

جدول ۱- ویژگی‌های فیزیکی فیلم‌های هیدروژلی آرد فیلتر گندم حاوی کارواکرول

زاویه تماس	نفوذپذیری به بخار آب ($10^{-1} \times$ گرم متر ثانیه پاسکال)	حلالیت در آب (درصد)	رطوبت (درصد)	ضخامت (میلی متر)	فیلم
$41/10 \pm 0/72^b$	$1/14 \pm 0/12^a$	$40/06 \pm 1/5^a$	$13/18 \pm 1/24^a$	$0/135 \pm 0/007^c$	FPW
$45/43 \pm 0/34^b$	$1/2 \pm 0/42^a$	$38/51 \pm 1/2^{ab}$	$11/35 \pm 0/71^{ab}$	$0/158 \pm 0/006^b$	FPW+5% c
$55/21 \pm 0/49^a$	$1/32 \pm 0/23^a$	$37/01 \pm 0/63^b$	$9/85 \pm 0/51^b$	$0/174 \pm 0/004^a$	FPW+10% c

حروف غیرمشابه در هر ستون نشان‌دهنده اختلاف معنی‌دار است ($P < 0/05$).

محسوب می‌شود. همان طوری که در جدول ۱ نشان داده شده است زاویه تماس فیلم هیدروژل فاقد کارواکرول برابر $41/10 \pm 0/72$ درجه تعیین گردید. زاویه تماس هیدروژل‌های تولیدی با افزایش غلظت کارواکرول از ۵ درصد ($45/43 \pm 0/34$ درجه) به ۱۰ درصد ($55/21 \pm 0/49$ درجه) زاویه تماس هیدروژل‌های تولیدی $21/50$

تأثیر غلظت کارواکرول بر زاویه تماس فیلم‌های هیدروژلی

زاویه تماس زاویه‌ای است که اگر یک قطره از یک مایع مشخص بر سطح جامد قرار گیرد، بین سطح جامد و هوا تشکیل می‌شود. از آن جایی که فیلم‌های کربوهیدراتی ماهیت آب‌دوستی دارند، اندازه‌گیری زاویه تماس آب، شاخص خوبی برای تعیین میزان آب‌دوست بودن آن‌ها

چگونگی تشکیل فیلم قرار دارد. نفوذپذیری نسبت به بخار آب فیلم‌های هیدروژلی بر پایه آرد فیلتر در جدول ۱ نشان داده شده است. نفوذپذیری نسبت به بخار آب فیلم هیدروژلی فاقد کارواکرول برابر $10^{-1} \times 1/14$ (گرم متر ثانیه پاسکال) بود. همان‌طوری که مشاهده شد با افزایش غلظت کارواکرول تغییرات معنی‌داری در نفوذپذیری نسبت به بخار آب مشاهده نشد ($P > 0.05$) که از این حیث با نتایج برخی از پژوهشگران مطابقت داشت (Azadbakht *et al.*, 2018; Hosseini *et al.*, 2009). همچنین لازم به ذکر است نتایج پژوهش حاضر با گزارش برخی از پژوهشگران مینی بر افزودن اسانس برگ چای در فیلم هیدروکسی پروپیل متیل و اسانس دارچین در فیلم کیتوزان (Ojagh *et al.*, 2010) مغایرت داشت. در همین راستا بر اساس گزارش Dhumal و همکاران (۲۰۱۹) مینی بر نقش اسانس‌ها به‌عنوان نرم‌کننده در بستر پلی‌مری و تاثیر آن در تسریع انتقال رطوبت و از سوی دیگر ماهیت آب‌گریزی اسانس و کاهش توانایی انتقال رطوبت در فیلم‌های زیستی می‌توان اظهار کرد که اثربخشی اسانس‌ها وابسته به پتانسیل آن‌ها در تغییرات بخش آب‌دوست و آب‌گریز بستر پلی‌مری است.

تأثیر غلظت کارواکرول بر ویژگی مکانیکی فیلم‌های

هیدروژلی

نتایج حاصل از بررسی تأثیر کارواکرول بر خصوصیات مکانیکی فیلم پودر نرم گندم در شکل ۱ نشان داده شده است. کشش‌پذیری فیلم هیدروژلی بدون کارواکرول $2/23 \pm 31/16$ درصد تعیین گردید. همان‌طوری که مشاهده می‌شود با افزایش غلظت کارواکرول کشش‌پذیری فیلم‌ها افزایش و مقاومت به کشش آن‌ها کاهش یافت (شکل ۱- الف) که دلیل این امر را می‌توان بر اساس گزارش همایونی و همکاران (۲۰۱۷) به جایگزینی اسانس با بخشی از پیوند قوی پلی‌مر- پلی‌مر با پیوند ضعیف پلی‌مر- اسانس نسبت داد که تضعیف ساختار فیلم و افزایش توانایی حرکت زنجیره‌های پلی‌مر موجب می‌گردد (Homayouni *et al.*, 2017). در همین راستا در تطابق با یافته‌های این پژوهش می‌توان به افزودن آویشن شیرازی و پونه کوهی به فیلم نشاسته ذرت (Ghasemlou *et al.*, 2013)، اسانس پونه کوهی به فیلم نشاسته-کیتوزان (Pelissari *et al.*, 2009) اشاره کرد. از طرفی اجاق و همکاران (۲۰۱۰) افزودن اسانس دارچین به فیلم بر پایه کیتوزان در افزایش مقاومت به کشش فیلم و کاهش کشش‌پذیری مؤثر گزارش کردند. این پژوهشگران که علت این امر را کاهش حجم فضای آزاد و کاهش توانایی حرکت زنجیره‌های پلی‌مر به سبب پیوند قوی بین کیتوزان و اسانس نسبت دادند (Ojagh *et al.*, 2010).

درصد افزایش نشان داد. این نتایج به معنی بهبود ویژگی‌های سطحی هیدروژل‌ها در حضور کارواکرول است دلیل این امر احتمالاً به ماهیت هیدروفوب بیشتر کارواکرول در مقایسه با هیدروژل‌ها بر پایه آرد فیلتر گندم مرتبط می‌باشد در همین راستا روند مشابهی در زاویه تماس فیلم‌های زیستی با افزودن کارواکرول (Dhumal *et al.*, 2019) و پونه کوهی (Hashemi Gahruie, *et al.*, 2017) به ترتیب در بستر پلی‌مری نشاسته- گوار و صمغ دانه ریجان گزارش شده است.

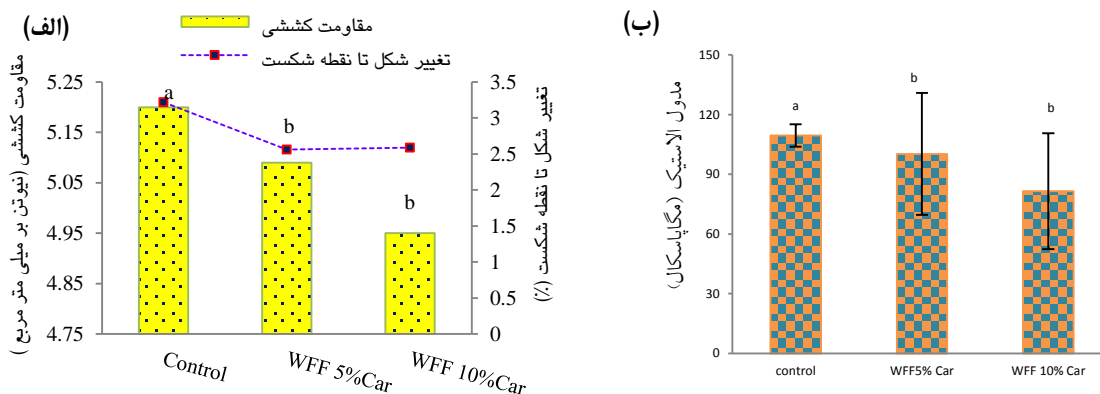
تأثیر غلظت کارواکرول بر حلالیت در آب فیلم‌های هیدروژلی

قابلیت انحلال در آب یکی از ویژگی‌های مهم در انتخاب فیلم جهت کاربردهای مختلف است. هنگامی که بسته‌بندی مواد غذایی با فعالیت آبی بالا مد نظر است، حلالیت در آب یک ویژگی نامطلوب درحالی که مواردی نظیر ریزپوشانی ترکیب مغذی حلالیت در آب ویژگی مطلوب تلقی می‌شود. استفاده از ترکیبات لیپیدی یکی از راهکارهای افزایش مقاومت نسبت به آب پلی‌مرهای بسته‌بندی به شمار می‌رود (Ghasemlou *et al.*, 2013). لازم به ذکر است مقایسه عملکرد اسانس در فیلم‌ها وابسته به ماهیت پلی‌مر و نیز اسانس باشد (Atarés and Chiralt, 2016). حلالیت در آب فیلم‌های هیدروژلی حاوی کارواکرول در جدول ۱ نشان داده شده است. همان‌طوری که مشاهده شد با افزایش غلظت کارواکرول از ۵ درصد به ۱۰ درصد حلالیت فیلم‌ها از $40/06 \pm 0/63$ درصد به $37 \pm 1/5$ درصد کاهش نشان داد از این حیث با نتایج Dhumal و همکاران (۲۰۱۹) مینی بر کاهش حلالیت فیلم زیستی با افزودن کارواکرول مطابقت داشت. در همین راستا Atef و همکاران (۲۰۱۵) دلیل کاهش حلالیت فیلم‌ها حاوی اسانس را به برهم‌کنش اسانس-پلی‌مر و جلوگیری از تشکیل پیوند بین پلی‌مر-آب نسبت دادند.

تأثیر غلظت کارواکرول بر نفوذپذیری نسبت به بخار آب

فیلم‌های هیدروژلی

یکی از مهم‌ترین کاربردهای بسته‌بندی در مواد غذایی کاهش نرخ انتقال رطوبت و گازها بین غذا با محیط اطراف می‌باشد. تلاش‌های بسیاری به‌منظور افزایش بازدارندگی در برابر بخار آب فیلم‌ها صورت پذیرفته است. نقش ترکیبات لیپیدی نظیر اسانس‌ها در بهبود مانع‌کنندگی در برابر نفوذپذیری به بخار آب فیلم‌های زیستی مورد بررسی قرار گرفته است (Dhumal *et al.*, 2019, Pelissari *et al.*, 2009, 2005). اگرچه انتقال بخار آب از طریق بخش‌های آبدوست پلی‌مر رخ می‌دهد، اما قابل ذکر است نفوذپذیری به بخار آب تحت تأثیر نسبت ترکیبات آب‌گریز و آب‌دوست فیلم، فرمولاسیون و



شکل ۱- ویژگی‌های مکانیکی فیلم‌های هیدروژلی تولیدی

شاخص زردی فیلم‌های تولیدی با افزودن کارواکرول افزایش یافت که دلیل تغییر در این شاخص بر اساس گزارش Dhumal و همکاران (۲۰۱۹) به پیگمان‌های موجود در کارواکرول نسبت داده شده است. نتایج حاصل از این تحقیق با گزارش سایر پژوهشگران مبنی بر افزایش شاخص زردی با افزودن اسانس آویشن شیرازی در فیلم زئین (Kashiri *et al.*, 2017)، کارواکرول در فیلم نشاسته- صمغ ریحان (Dhumal *et al.*, 2019)، اسانس سیر در فیلم بر پایه آلزینات (Pranoto *et al.*, 2005) و نیز اسانس آویشن شیرازی و پونه کوهی در فیلم بر پایه نشاسته ذرت (Ghasemlou *et al.*, 2013) مطابقت داشت.

تأثیر غلظت کارواکرول بر رنگ سطحی فیلم‌های هیدروژلی

نوع مواد افزودنی با توجه به ماهیت و چگونگی پراکنش آن‌ها در محلول تشکیل دهنده فیلم می‌تواند منجر به بروز تغییراتی در پارامترهای رنگی فیلم تولیدی گردد (Dhumal *et al.*, 2019). به بیان دیگر شدت تغییرات رنگی فیلم می‌تواند تحت تأثیر ساختار پلی‌مر و پیگمان‌های رنگی ماده افزودنی و پلی‌مر قرار دارد. فیلم‌های هیدروژلی آرد فیلتر گندم (شاهد)، ظاهری شفاف و رنگی متمایل به زرد داشت. تأثیر افزودن کارواکرول بر ویژگی‌های رنگی فیلم‌های هیدروژلی آرد فیلتر گندم در جدول ۲ نشان داده شده است. همان طوری که مشاهده می‌شود افزودن کارواکرول تغییر معنی‌داری بر شفافیت فیلم نداشت ($P > 0.05$).

جدول ۲- تأثیر کارواکرول بر ویژگی‌های رنگی فیلم‌های تولیدی

فیلم	L*	a*	b*	ΔE	YI	WI
H-FPW	90.56 ± 0.45 ^a	1.56 ± 0.40 ^a	10.36 ± 0.32 ^b	10.85 ± 0.05 ^a	4.89 ± 0.12 ^b	85.88 ± 0.06 ^a
H-FPW+5% C	90.23 ± 0.06 ^a	1.6 ± 0.1 ^a	10.7 ± 0.2 ^{ab}	10.9 ± 0.14 ^a	5.03 ± 0.09 ^{ab}	85.87 ± 0.13 ^a
H-FPW+10% C	90.98 ± 0.07 ^a	1.7 ± 0.43 ^a	11.1 ± 0.2 ^a	11.21 ± 0.31 ^a	5.22 ± 0.12 ^a	85.59 ± 0.28 ^a

FPW هیدروژل آرد فیلتر گندم، FPW+5% C، هیدروژل آرد فیلتر گندم حاوی ۵ درصد کارواکرول، PW+10% C هیدروژل آرد فیلتر گندم حاوی ۱۰ درصد کارواکرول

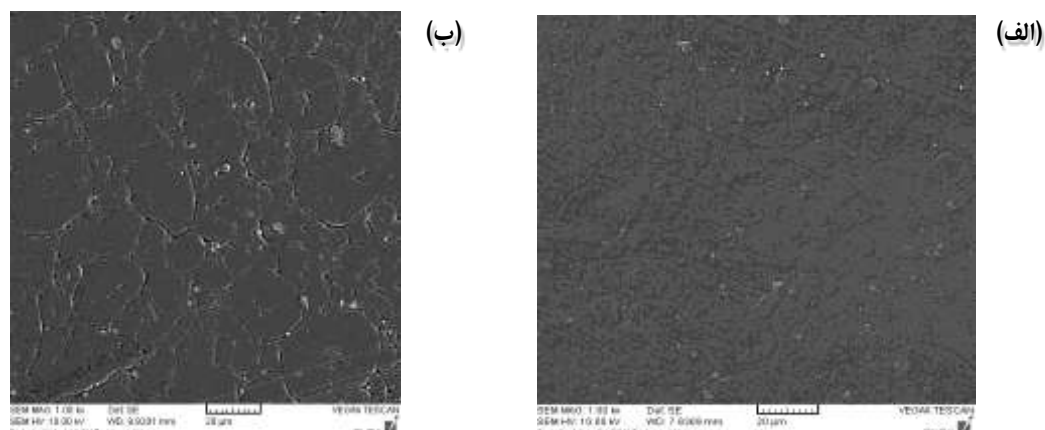
*اختلاف معنی‌دار بین میانگین‌ها ($P < 0.05$) به صورت حروف کوچک در هر ستون نشان داده شده است. حروف غیرمشابه نشان‌دهنده اختلاف معنی‌دار در سطح ۹۵ درصد می‌باشد ($P < 0.05$).

فیلمی موجب ایجاد فضاهای خالی در ساختار فیلم گردید. وجود این حفره‌ها و فضاهای خالی می‌تواند تائیدی بر افزایش نفوذپذیری نسبت به بخار آب و کاهش مقاومت کششی فیلم‌های هیدروژلی تولیدی تلقی گردد.

ارزیابی شکل‌شناسی فیلم‌های هیدروژلی آرد فیلتر گندم با

استفاده از میکروسکوپ الکترونی روبشی

تصاویر سطحی فیلم هیدروژلی آرد فیلتر گندم فاقد کارواکرول (شاهد) و فیلم هیدروژلی حاوی کارواکرول در شکل ۲ نشان داده شده است. همان‌گونه که مشاهده می‌شود، افزودن کارواکرول در محلول



شکل ۲- تصاویر میکروسکوپ الکترونی روبشی فیلم هیدروژلی آرد فیلتر گندم (الف) و فیلم هیدروژلی آرد فیلتر گندم حاوی کارواکرول (ب)

فیلتر گندم (شاهد) فاقد هر گونه فعالیت ضد-باکتریایی و قارچی بود. با افزودن ۵ درصد کارواکرول بازدارندگی متوسط (++) در جمعیت باکتری در سطح محیط کشت جامد مشاهده شد. با افزایش غلظت کارواکرول به ۱۰ درصد بازدارندگی باکتریایی نسبی (+++) علیه دو باکتری مورد بررسی مشاهده شد.

ارزیابی ویژگی‌های ضد میکروبی بخارهای کارواکرول در مدل غذایی جامد

تأثیر کارواکرول در فیلم هیدروژلی آرد فیلتر گندم در محیط جامد به صورت غیرمستقیم مهار رشد باکتری (*اشرشیا کلائی* و *لیستریا مونوسیتوژنز*) و قارچ *آسپرژیلوس نایجر* مورد ارزیابی قرار گرفت. همان طوری که در جدول ۳ نشان داده شده است، فیلم هیدروژلی آرد

جدول ۳- تأثیر غلظت کارواکرول بر ویژگی باکتریایی فیلم هیدروژلی آرد فیلتر گندم

نوع میکروارگانیسم	فیلم (شاهد)	فیلم حاوی ۵ درصد کارواکرول	فیلم حاوی ۱۰ درصد کارواکرول
<i>لیستریا مونوسیتوژنز</i>	-	++	+++
<i>اشرشیا کلائی</i>	-	++	+++

+ (بازدارندگی اندکی)، ++ (بازدارندگی نسبی)



شکل ۳- تصاویر ویژگی ضد میکروبی فیلم‌های هیدروژلی آرد فیلتر گندم علیه *آسپرژیلوس نایجر*

آویشن شیرازی در فیلم زئین در محیط جامد گزارش کردند که در مقایسه با اثر ضدباکتریایی فیلم هیدروژلی حاوی کارواکرول در غلظت ۱۰ درصد در پژوهش حاضر می‌توان بیان داشت بخارهای کارواکرول

تأثیر اسانس در ترکیب فیلم‌های زیستی بر مهار رشد باکتری‌های و افزایش فعالیت بازدارندگی اسانس‌ها با افزایش غلظت گزارش شده است (Ghasemlou *et al.*, 2013; Jouki *et al.*, 2013). در همین راستا Kashiri و همکاران (۲۰۱۷) عدم فعالیت ضدباکتریایی اسانس

است. در غلظت ۵ درصد ترکیب فعال، با توجه به تعداد باکتری در نمونه شاهد، مقدار کاهش اندیس لگاریتمی *اشرشیا کلاهی* و *لیستریا مونوسیتوزنز* به ترتیب ۱/۱۶ و ۱/۳۴ تعیین شد. با افزایش غلظت کارواکرول به ۱۰ درصد مقدار کاهش لگاریتمی فیلم فعال هیدروژلی در برابر *اشرشیا کلاهی* و *لیستریا مونوسیتوزنز* به ترتیب ۲/۳۳ و ۲/۷۱ گردید. مکانیسم عمل کارواکرول بر اساس تأثیر بر لایه لیپیدی غشای سیتوپلاسمی باکتریایی و از دست دادن انسجام بافتی، افت نیروی پروتون متحرک و در نتیجه نشت مواد سلولی مانند یون، ATP و اسید نوکلئیک از سلول می‌باشد. با افزایش غلظت کارواکرول به ۱۰ درصد، مقدار کاهش لگاریتمی فیلم زیست فعال در برابر باکتری‌ها افزایش نشان داد. با افزایش غلظت کارواکرول مقدار بیش‌تری از ترکیبات ترپنوئیدی از غشاء عبور و این امر می‌تواند منجر به افزایش اختلال فیزیکی در پایداری فسفولیپید و کاهش تعداد سلول‌های زنده گردد. همسو با نتایج این پژوهش می‌توان به افزایش اندیس کاهش لگاریتمی در فیلم اتیلن وینیل الکل حاوی ۱۰ درصد اسانس پونه کوهی (Muriel-Galet *et al.*, 2012) در برابر *اشرشیا کلاهی* و *لیستریا مونوسیتوزنز* اشاره کرد.

در بستر هیدروژلی بسیار موفق‌تر بوده است. از طرفی فعالیت ضد-باکتریایی اسانس اکالیپتوس در هیدروژل کیتوزان (Azadbakht *et al.*, 2018) در بستر جامد قابل رقابت قلمداد گردد. علاوه بر ویژگی ضدباکتریایی، ویژگی ضدقارچی علیه *آسپرژیلوس نایجر* هیدروژل حاوی ۵ و ۱۰ درصد کارواکرول مورد بررسی قرار گرفت (شکل ۳). همان‌طوری که مشاهده می‌شود در غلظت ۵ درصد اسپورزایی قارچ کنترل و در غلظت ۱۰ درصد کارواکرول بازدارندگی کامل شده است. با توجه به این نتایج می‌توان بیان داشت بخارهای کارواکرول ویژگی ضدقارچی بهتری در مقایسه با دو باکتری در بستر فیلم هیدروژل نشان داد که از حیث کاربردی می‌تواند مورد توجه قرار گرفته شود.

تأثیر غلظت کارواکرول بر ویژگی ضد میکروبی فیلم‌های هیدروژلی در مدل غذایی مایع

اثر ضدباکتریایی کارواکرول در فیلم هیدروژلی در تماس مستقیم با محیط مایع در دمای ۳۷ درجه سانتی‌گراد علیه *لیستریا مونوسیتوزنز* و *اشرشیا کلاهی* بررسی شد. نتایج اثر بازدارندگی فیلم‌های حاوی ۵ و ۱۰ درصد کارواکرول بر علیه دو باکتری فوق در جدول ۳ نشان داده شده

جدول ۳- ارزیابی ویژگی ضد میکروبی فیلم زیست فعال آرد فیلتر گندم حاوی کارواکرول در برابر *اشرشیا کلاهی* و *لیستریا مونوسیتوزنز* با لگاریتم تعداد واحد کلنی $\text{Log}(\text{cfu/ml})$ و اندیس کاهش لگاریتمی (LRV)

لیستریا مونوسیتوزنز		اشرشیا کلاهی		نوع فیلم
LRV	$\text{Log}(\text{cfu/ml})$	LRV	$\text{Log}(\text{cfu/ml})$	
	$8/92 \pm 0/03$		$8/8 \pm 0/02$	نمونه شاهد (کنترل میکروبی)
۱/۳۴	$7/58 \pm 0/09$	۱/۱۶	$7/72 \pm 0/03$	H-FPW+5% C
	$8/91 \pm 0/01$		$8/95 \pm 0/02$	نمونه شاهد (کنترل میکروبی)
۲/۷۱	$6/19 \pm 0/15$	۲/۳۳	$6/62 \pm 0/07$	% C 10 H-FPW+

هیدروژل آرد فیلتر گندم حاوی ۱۰ درصد کارواکرول FPW+10% C هیدروژل آرد فیلتر گندم حاوی ۵ درصد کارواکرول، C FPW+5%

هیدروژلی بر پایه آرد گندم گردید. خواص ضدقارچی بخارهای کارواکرول علیه *آسپرژیلوس نایجر* در فیلم هیدروژلی در محیط جامد در مقایسه با باکتری مورد بررسی بیشتر بود. کاهش اندیس لگاریتمی فیلم فعال تولیدی در مدل غذایی مایع علیه *لیستریا مونوسیتوزنز* بیش از *اشرشیا کلاهی* بود. ارزیابی فیلم هیدروژلی آرد فیلتر گندم حاوی ۱۰ درصد کارواکرول سامانه واقعی غذایی (کالباس به‌عنوان سامانه غذایی جامد) در دسترس بررسی که آینده نزدیک ارائه خواهد شد.

نتیجه گیری

در این پژوهش آرد فیلتر گندم به‌عنوان محصول جانبی ارزان قیمت صنعت آسیابانی گندم جهت تولید فیلم‌های هیدروژلی زیستی مورد استفاده قرار گرفت. با توجه به اهمیت کاهش مصرف مواد شیمیایی جهت کنترل رشد میکروبی کارواکرول در دو غلظت ۵ و ۱۰ درصد علاوه بر بروز خواص ضد میکروبی مطلوب در مدل غذایی جامد و مایع سبب افزایش مقاومت در برابر آب و بهبود خواص آب‌گریزی فیلم

منابع

- Abdollahi, M., Alboofetileh, M., Behrooz, R., Rezaei, M., & Miraki, R. 2013. Reducing water sensitivity of alginate bio-nanocomposite film using cellulose nanoparticles. *International Journal of Biological Macromolecules* 54, 166-173.
- Aguirrea, A., Borneoa, R.B., & Leon, A.E. 2013. Antimicrobial, mechanical and barrier properties of triticale protein films incorporated with oregano essential oil. *Food Bioscience* 1, 2-9.

- Ahmad, M., Benjakul, S., Prodpran, T., & Agustini, T.W. 2012. Physico-mechanical and antimicrobial properties of gelatin film from the skin of unicorn leatherjacket incorporated with essential oils. *Food Hydrocolloids* 28, 189-199.
- Andrade-Mahecha, M.M., Tapia-Blácido, D.R., & Menegalli, F.C. 2012. Development and optimization of biodegradable films based on achira flour. *Carbohydrate Polymers* 88, 449-458.
- ASTM, 2009. Standard test method for tensile properties of thin plastic sheeting D882-02, ASTM, Annual Book of American Standard Testing Methods., Philadelphia, PA.
- ASTM, E., Standard test methods for water vapor transmission of materials, ASTM E.
- Atarés, L., Chiralt, A., 2016. Essential oils as additives in biodegradable films and coatings for active food packaging. *Trends in food science & technology* 48, 51-62.
- Atef, M., Rezaei, M., & Behrooz, R. 2015. Characterization of physical, mechanical, and antibacterial properties of agar-cellulose bionanocomposite films incorporated with savory essential oil. *Food Hydrocolloids* 45, 150-157.
- Azadbakht, E., Maghsoudlou, Y., Khomiri, M., & Kashiri, M. 2018. Development and structural characterization of chitosan films containing Eucalyptus globulus essential oil: Potential as an antimicrobial carrier for packaging of sliced sausage. *Food Packaging and Shelf Life* 17, 65-72.
- Ben Arfa, A., Combes, S., Preziosi-Belloy, L., Gontard, N., & Chalier, P. 2006. Antimicrobial activity of carvacrol related to its chemical structure. *Letters in applied microbiology* 43, 149-154.
- Betz, M., & Kulozik, U. 2011. Whey protein gels for the entrapment of bioactive anthocyanins from bilberry extract. *International Dairy Journal* 21, 703-710.
- Borneo, R., Alba, N., & Aguirre, A. 2016. New films based on triticale flour: Properties and effects of storage time. *Journal of Cereal Science* 68, 82-87.
- Bravin, B., Peressini, D., & Sensidoni, A. 2004. Influence of emulsifier type and content on functional properties of polysaccharide lipid-based edible films. *Journal of agricultural and food chemistry* 52, 6448-6455.
- Briassoulis, D., & Giannoulis, A. 2018. Evaluation of the functionality of bio-based food packaging films. *Polymer Testing* 69, 39-51.
- Coughlan, K., Shaw, N., Kerry, J., & Kerry, J. 2004. Combined Effects of Proteins and Polysaccharides on Physical Properties of Whey Protein Concentrate-based Edible Films. *Journal of food science* 69.
- Delcour, J.A., & Hosney, R.C. 2010. Principles of cereal science and technology. St. Paul, MN, USA: AACC International.
- Dhumal, C.V., Ahmed, J., Bandara, N., & Sarkar, P. 2019. Improvement of antimicrobial activity of sago starch/guar gum bi-phasic edible films by incorporating carvacrol and citral. *Food Packaging and Shelf Life*, 21, 100380
- Dias, A.B., Müller, C.M.O., Larotonda, F.D.S., & Laurindo, J.B. 2010. Biodegradable films based on rice starch and rice flour. *Journal of Cereal Science* 51, 213-219.
- Dorđević, V., Balanč, B., Belščak-Cvitanović, A., Lević, S., Trifković, K., Kalušević, A., Kostić, I., Komes, D., Bugarski, B., & Nedović, V. 2015. Trends in encapsulation technologies for delivery of food bioactive compounds. *Food Engineering Reviews* 7, 452-490.
- Drakos, A., Pelava, E., & Evageliou, V. 2018. Properties of flour films as affected by the flour's source and particle size. *Food Research International* 107, 551-558.
- Farag, R., Daw, Z., & Abo-Raya, S. 1989. Influence of some spice essential oils on *Aspergillus parasiticus* growth and production of aflatoxins in a synthetic medium. *Journal of Food Science* 54, 74-76.
- Ghasemlou, M., Aliheidari, N., Fahmi, R., Shojaee-Aliabadi, S., Keshavarz, B., Cran, M.J., & Khaksar, R. 2013. Physical, mechanical and barrier properties of corn starch films incorporated with plant essential oils. *Carbohydrate polymers* 98, 1117-1126.
- Gutiérrez, T.J. 2018. Are modified pumpkin flour/plum flour nanocomposite films biodegradable and compostable, *Food Hydrocolloids* 83, 397-410.
- Gutiérrez, T.J., Suniaga, J., Monsalve, A., & García, N.L. 2016. Influence of beet flour on the relationship surface-properties of edible and intelligent films made from native and modified plantain flour. *Food Hydrocolloids* 54, Part B, 234-244.
- Hashemi Gahrue, H., Ziaee, E., Eskandari, M. H., & Hosseini, S. M. H. (2017). Characterization of basil seed gum-based edible films incorporated with *Zataria multiflora* essential oil nanoemulsion. *Carbohydrate Polymers*, 166, 93-103.
- Hemdane, S., Leys, S., Jacobs, P.J., Dornez, E., Delcour, J.A., & Courtin, C.M. 2015. Wheat milling by-products and their impact on bread making. *Food Chemistry* 187, 280-289.
- Heras-Mozos, R., Muriel-Galet, V., López-Carballo, G., Catalá, R., Hernández-Muñoz, P., & Gavara, R. 2019. Development and optimization of antifungal packaging for sliced pan loaf based on garlic as active agent and bread aroma as aroma corrector. *International journal of food microbiology*, 290, 42-48.
- Homayouni, H., Kavoosi, G., & Nassiri, S.M. 2017. Physicochemical, antioxidant and antibacterial properties of dispersion made from tapioca and gelatinized tapioca starch incorporated with carvacrol. *LWT* 77, 503-509.
- Hosseini, M., Razavi, S., & Mousavi, M. 2009. Antimicrobial, physical and mechanical properties of chitosan-based films incorporated with thyme, clove and cinnamon essential oils. *Journal of food processing and preservation* 33, 727-743.

- Jouki, M., Tabatabaei Yazdi, F., Mortazavi, S.A., & Koocheki, A. 2013. Physical, barrier and antioxidant properties of a novel plasticized edible film from quince seed mucilage. *International Journal of Biological Macromolecules* 62, 500-507.
- Jouki, M., Mortazavi, S.A., Yazdi, F.T., & Koocheki, A. 2014a. Optimization of extraction, antioxidant activity and functional properties of quince seed mucilage by RSM. *International Journal of Biological Macromolecules* 66, 113-124.
- Jouki, M., Yazdi, F.T., Mortazavi, S.A., & Koocheki, A. 2014b. Quince seed mucilage films incorporated with oregano essential oil: Physical, thermal, barrier, antioxidant and antibacterial properties. *Food Hydrocolloids* 36, 9-19.
- Jagannath, J., Nanjappa, C., Das Gupta, D., & Bawa, A. 2003. Mechanical and barrier properties of edible starch-protein-based films. *Journal of applied polymer science* 88, 64-71.
- Kashiri, M., Cerisuelo, J.P., Domínguez, I., López-Carballo, G., Muriel-Gallet, V., Gavara, R., & Hernández-Muñoz, P. 2017. Zein films and coatings as carriers and release systems of Zataria multiflora Boiss. essential oil for antimicrobial food packaging. *Food Hydrocolloids* 70, 260-268.
- Kashiri, M., López-Carballo, G., Hernández-Muñoz, P., & Gavara, R. 2019. Antimicrobial packaging based on a LAE containing zein coating to control foodborne pathogens in chicken soup. *International Journal of Food Microbiology* 306, 108272.
- Kavoosi, G., Dadfar, S.M.M., Mohammadi Purfard, A., & Mehrabi, R. 2013. Antioxidant and antibacterial properties of gelatin films incorporated with carvacrol. *Journal of Food Safety* 33, 423-432.
- Lu, M., Li, Z., Liang, H., Shi, M., Zhao, L., Li, W., Chen, Y., Wu, J., Wang, S., Chen, X., Yuan, Q., & Li, Y. 2015. Controlled release of anthocyanins from oxidized konjac glucomannan microspheres stabilized by chitosan oligosaccharides. *Food Hydrocolloids* 51, 476-485.
- Luqin, X., Pengtao, H., Ruihua, M., & Jianghong, L. 2009. Application of TEM on Hydrogeological Exploration in Xinji No. 1 Coalmine. *Coal Geology of China*, S1.
- Mossavi, M., Kashiri, M., Maghsoudlou, Y., Khomiri, M., & Alami, M. 2019. *mdrsjrn*s 15, 33-47.
- Mun, S., Kim, Y.-R., McClements, D.J., 2015. Control of β -carotene bioaccessibility using starch-based filled hydrogels. *Food chemistry* 173, 454-461.
- Muriel-Galet, V., López-Carballo, G., Gavara, R., & Hernández-Muñoz, P. 2012. Antimicrobial food packaging film based on the release of LAE from EVOH. *International Journal of Food Microbiology* 157, 239-244.
- Neves, M.A.d., Kimura, T., Shimizu, N., & Shiiba, K. 2006. Production of alcohol by simultaneous saccharification and fermentation of low-grade wheat flour. *Brazilian Archives of Biology and Technology* 49, 481-490.
- Nouraddini, M., Esmaili, M., & Mohtarami, F. 2018. Development and characterization of edible films based on eggplant flour and corn starch. *International Journal of Biological Macromolecules* 120, 1639-1645.
- Ojagh, S.M., Rezaei, M., Razavi, S.H., & Hosseini, S.M.H. 2010. Development and evaluation of a novel biodegradable film made from chitosan and cinnamon essential oil with low affinity toward water. *Food Chemistry* 122, 161-166.
- Ozel, B., Cikrikci, S., Aydin, O., & Oztop, M.H. 2017. Polysaccharide blended whey protein isolate-(WPI) hydrogels: A physicochemical and controlled release study. *Food Hydrocolloids* 71, 35-46.
- Pelissari, F.M., Andrade-Mahecha, M.M., Sobral, P.J.d.A., & Menegalli, F.C. 2013. Comparative study on the properties of flour and starch films of plantain bananas (*Musa paradisiaca*). *Food Hydrocolloids* 30, 681-690.
- Pelissari, F.M., Grossmann, M.V., Yamashita, F., & Pineda, E.A.G. 2009. Antimicrobial, mechanical, and barrier properties of cassava starch-chitosan films incorporated with oregano essential oil. *Journal of agricultural and food chemistry* 57, 7499-7504.
- Pires, C., Ramos, C., Teixeira, G., Batista, I., Mendes, R., Nunes, L., & Marques, A. 2011. Characterization of biodegradable films prepared with hake proteins and thyme oil. *Journal of Food Engineering* 105, 422-428.
- Pomeranz, Y. 1988. *Wheat: Chemistry and Technology*, Vol. I. St-Paul, Minnesota: American Association of Cereal Chemists.
- Pranoto, Y., Rakshit, S.K., & Salokhe, V.M. 2005. Enhancing antimicrobial activity of chitosan films by incorporating garlic oil, potassium sorbate and nisin. *LWT- Food Science and Technology* 38, 859-865.
- Ramos, M., Beltrán, A., Peltzer, M., Valente, A.J.M., & Garrigós, M.d.C. 2014. Release and antioxidant activity of carvacrol and thymol from polypropylene active packaging films. *LWT- Food Science and Technology* 58, 470-477.
- Rojas-Graü, M.A., Raybaudi-Massilia, R.M., Soliva-Fortuny, R.C., Avena-Bustillos, R.J., McHugh, T.H., & Martín-Belloso, O. 2007. Apple puree-alginate edible coating as carrier of antimicrobial agents to prolong shelf-life of fresh-cut apples. *Postharvest Biology and Technology* 45, 254-264.
- Romero, V., Borneo, R., Passalacqua, N., & Aguirre, A. 2016. Biodegradable films obtained from triticale (x Triticosecale Wittmack) flour activated with natamycin for cheese packaging. *Food Packaging and Shelf Life* 10, 54-59.
- Rubilar, J.F., Cruz, R.M.S., Silva, H.D., Vicente, A.A., Khmelinskii, I., & Vieira, M.C. 2013. Physico-mechanical properties of chitosan films with carvacrol and grape seed extract. *Journal of Food Engineering* 115, 466-474.
- Salarbashi, D., Tajik, S., Ghasemlou, M., Shojae-Aliabadi, S., Shahidi Noghabi, M., & Khaksar, R. 2013. Characterization of soluble soybean polysaccharide film incorporated essential oil intended for food packaging. *Carbohydrate Polymers* 98, 1127-1136.

- Sánchez-González, L., Vargas, M., González-Martínez, C., Chiralt, A., & Cháfer, M. 2009. Characterization of edible films based on hydroxypropylmethylcellulose and tea tree essential oil. *Food Hydrocolloids* 23, 2102-2109.
- Tsang, Y.F., Kumar, V., Samadar, P., Yang, Y., Lee, J., Ok, Y.S., Song, H., Kim, K.-H., Kwon, E.E., & Jeon, Y.J. 2019. Production of bioplastic through food waste valorization. *Environment International* 127, 625-644.
- Waggle, D., Lambert, M., Miller, G., Farrell, E., & Deyoe, C. 1967. Extensive analyses of flours and millfeeds made from nine different wheat mixes. 2. Amino acids, minerals, vitamins, and gross energy. *Cereal Chemistry* 44, 48-60.
- Wang, J., Xie, A., & Zhang, C. 2013. Feature of air classification product in wheat milling: Physicochemical, rheological properties of filter flour. *Journal of cereal science* 57, 537-542.
- Wichchukit, S., Oztop, M., McCarthy, M., & McCarthy, K. 2013. Whey protein/alginate beads as carriers of a bioactive component. *Food Hydrocolloids* 33, 66-73.

Investigating the effect of carvacrol on physical, mechanical and antimicrobial properties of bio-hydrogel film based on filter flour obtained from wheat milling process

M. Mossavi, M. Kashiri*, Y. Maghsoudlou, M. Khomiri, M. Alami

Received: 2020.01.23

Accepted: 2020.11.11

Introduction: Hydrogels are a three-dimensional network of polymeric matrices with the ability to absorb water through chemical or physical cross-linking. Recently, the development of bio-based hydrogel with the aim of reducing the use of fossil fuel is becoming interested. Wheat filter flour (WFF) is a by-product obtained from air-classification in the modern wheat milling industry. It contains a high level of non-endosperm materials with the ability of water absorption and bio-film making capacity. Nevertheless, hydrogel-based films usually display weak water resistance, flexibility problems, and gas barrier properties. Carvacrol as a phenolic component is used to improve the functional properties of film and reduce the growth of pathogenic and spoilage microorganisms.

Materials and Methods: Hydrogel based films were prepared by casting technique. Six grams of WFF was added to 100 ml of distilled water, the pH of the solution was adjusted near to 10.7 with NaOH solution (1 N). The dispersion was heated up to 85°C, with gentle stirring at 250 rpm for 30 min. Glycerol (35 g/100g of dry polymer) was then added and stirred for another 15 min. Carvacrol, as an active agent incorporated at two concentrations (5 and 10% (g/100g of dry polymer)) and stirred for another 15 min at 40°C and dried in a forced-air oven at 35± 5°C for 24 h. Physical (density, water-solubility, moisture content), mechanical, barrier and antimicrobial properties of active hydrogel-based film were determined. Antimicrobial properties of active hydrogel-based were evaluated in the vapor phase by using the micro-atmosphere method and liquid medium (immersion in broth) as a food model system. Statistical analyses were performed on a completely randomized design with the analysis of variance procedure using SAS software.

Results and Discussion: Increasing the carvacrol concentration in the film making solution led to decreasing the water solubility, moisture content, and hydrophobicity properties of WFF based films. The SEM observations confirmed a porous structure of the active hydrogel-based film. The highest water vapor permeability ($1.32 \times 10^{-10} \text{ gm}^{-1} \text{ s}^{-1} \text{ Pa}^{-1}$) and the minimum water solubility ($37.01 \pm 0.63\%$) were observed in hydrogel film with 10% carvacrol. An increase in the concentration of carvacrol produced a greater growth inhibition zone for all microorganisms. The results in vapor phase showed that *A. niger* exhibited greater sensitivity to carvacrol than other studied bacteria. Hydrogel based films with 5% carvacrol in liquid food model system produced 1.16 and 1.34 log reduction against *E. coli* and *L. monocytogenes*, respectively. The greatest antibacterial activity was observed with films containing 10% carvacrol against *L. monocytogenes* (2.71 log reduction). This work suggested that the WFF hydrogel base film with 10% carvacrol can be used as an active packaging for improving the safety and shelf-life of food products.

Keywords: Wheat filter flour, Agro-industrial by-product, Carvacrol, Hydrogel, Antimicrobial packaging.

- Department of Food Science and Technology, Gorgan University of Agricultural Sciences and Natural Resources, Gorgan, Iran.

* Corresponding Author's Email: MKashiri@gau.ac.ir)